

## 変動風に対する吊橋の耐風安定性に関する考察

京都大学工学部 正員	工博 小西一郎
京都大学工学部 正員	工博 白石成人
京都大学工学部 正員	工修 宇都宮英彦
京都大学大学院 学生員	工修○松本 勝

### § 1. まえがき

長大吊橋の耐風安定性を検討するため、今回は各種の断面形状を有する部分模型を用いて定常風（乱れを含まない一様な空気流）および変動風（乱れを含む空気流）について動的実験を行ない、その動的挙動について考察を加えた。

### § 2. 定常速成振動におけるエネルギー状態

振動系に作用する動的空気力（揚力、トルクモーメント）および模型の変位（たわみ、ねじれ）をそれぞれ次式で表わす。

$$\dot{L}/m = \bar{H}_1 \dot{x} + \bar{H}_2 \dot{x} + \bar{H}_3 \dot{x}, \quad M/I_p = \bar{A}_1 \dot{x} + \bar{A}_2 \dot{x} + \bar{A}_3 \dot{\alpha} \quad (1)$$

$$x = x_0 \sin \omega t, \quad \alpha = \alpha_0 \sin(\omega t - \delta) \quad (2)$$

たわみ振動 1 cycle 当りに対する

$$\text{gain energy} = \pi x_0 m (\dot{x}_0 \omega \bar{H}_1 + \dot{x}_0 \omega \bar{H}_2 - \dot{x}_0 \bar{H}_3 \sin \delta), \quad \text{loss energy} = 2\pi m \beta_{th} w_{ho} \omega x_0^2 \quad (3)$$

ねじれ振動 1 cycle 当りに対する

$$\text{gain energy} = \pi \alpha_0 I_p \omega (\dot{\alpha}_0 \bar{A}_1 \cos \delta + \dot{\alpha}_0 \bar{A}_2), \quad \text{loss energy} = 2\pi I_p \beta_{th} w_{ho} \omega x_0^2 \quad (4)$$

式(3), (4)より定常速成振動が存在する条件は次式で表わせる。

$$\bar{A}_1 \cos \delta (-\bar{H}_3 \sin \delta + \omega \bar{H}_2 \cos \delta) = \omega (2\beta_{th} w_{ho} - \bar{A}_2)(2\beta_{th} w_{ho} - \bar{H}_1) \quad (5)$$

### § 3. 動的空気力係数

動的空気力係数をそれぞれ次のように表わす。

$$\bar{H}_1 = b_1 \Omega, \quad \bar{H}_2 = b_2 \Omega, \quad \bar{H}_3 = b_3 \Omega^2, \quad \bar{A}_1 = a_1 \Omega, \quad \bar{A}_2 = a_2 \Omega, \quad \bar{A}_3 = a_3 \Omega^2 \quad (6)$$

これらの係数  $b_1, b_2, a_1, a_2$  は次式により実験的に求めることができる。

$$b_1 = \frac{\dot{x}_0}{\omega} \frac{(w_{ho}^2 - \omega^2) \cos \delta - 2\beta_{th} w_{ho} \omega \sin \delta}{\Omega \left( \Omega - \frac{\dot{x}_0}{\omega} \omega \sin \delta \right)}, \quad b_2 = \frac{\dot{x}_0}{\omega} \frac{1}{\Omega} \left\{ (w_{ho}^2 - \omega^2) \sin \delta + (2\beta_{th} w_{ho} - b_1 \Omega) \omega \cos \delta \right\} \quad (7)$$

$$a_1 = \frac{\omega^2 - w_{ho}^2}{(\dot{x}_0 / \omega) \Omega \omega \sin \delta - \Omega^2}, \quad a_2 = \frac{1}{\Omega} \left\{ 2\beta_{th} w_{ho} - \frac{(\omega^2 - w_{ho}^2) \cos \delta}{\omega \sin \delta - (\dot{x}_0 / \omega) \Omega} \right\}$$

一方、Theodorsen関数を用いてこれらの係数を表わすと次のようになる。

$$b_1 = -(\pi r c^2 / \lambda) \sqrt{F(k)} + G(k), \quad b_2 = -(\pi r c^2 / \lambda) \left( \sqrt{F(k)} + \sqrt{G(k)} + 1 \right), \quad a_1 = (\pi r c^2 / \lambda) \sqrt{F(k)} w_{ho}, \quad a_2 = (\pi r c^2 / \lambda) \sqrt{F(k)} G(k) - 1 \quad (8)$$

部分模型 Plate, DT70H, DT70TΠについて、実験より求めた  $\bar{H}_1$  の値および理論値(DT70H)を図1に示す。

### § 4. 位相のずれと Reduced-velocity $\eta/\omega$ の関係

動的空気力係数が決まるれば次式より位相のずれを求めることができる。(図2 参)

$$\left\{ (K_A K_x - \bar{A}_1 \bar{A}_2) + \bar{A}_1 \bar{A}_2 \pm \left[ \left( \bar{A}_1^2 \bar{H}_2 \bar{H}_3 K_x - \bar{A}_1^2 \bar{H}_2^2 - (w_{ho}^2 - \bar{A}_3) \bar{A}_1^2 \bar{H}_2^2 \right) \pm \left( \bar{A}_1 \bar{H}_3 K_x (K_A K_x - \bar{A}_1 \bar{A}_2) + \bar{A}_1^2 \bar{H}_3^2 - 2(w_{ho}^2 - \bar{A}_3) (K_A K_x - \bar{A}_1 \bar{A}_2) \bar{A}_1 \bar{H}_2 \right) \pm \left( w_{ho}^2 - \bar{A}_3 \right) (K_A K_x - \bar{A}_1 \bar{A}_2)^2 \right] \right\} = 0 \quad (9)$$

$$w_{ho} = \omega = \sin \delta, \quad K_A = 2\beta_{th} w_{ho} - \bar{H}_1, \quad K_x = 2\beta_{th} w_{ho} - \bar{A}_2$$

### § 5. 振動数 $\omega$ と Reduced-velocity $\eta/\omega$ の関係

次式より振動数 $\omega$ を理論的に求めることができる。  
(図3 参)

$$\omega = (-\bar{A}_1 \bar{A}_2 \cos \delta \cdot \sin \delta) / (K_1 K_2 - \bar{A}_1 \bar{A}_2 \cos^2 \delta) \quad (10)$$

§6. 定常振幅比 $A_f/d_0$ とReduced-velocity $D_{bw}$ の関係

次式より定常振幅比を求めることができます。

$$A_f/d_0 = (\bar{A}_1 \omega d_0 - \bar{A}_2) / \bar{A}_1 \cos \delta \quad (11)$$

§7. 定常振動時におけるエネルギー状態

式(3), (4)より1 cycle 当りのエネルギーを求める  
と(図4, 5 参)次のことがわかる。つまり大わみ振動  
はねじれ振動の場合の約7~10倍のエネルギーを  
必要とする。従ってこの自由度連成振動においてはね  
じれ振動のオーバードライブに生じやすく予兆現象すらと  
いう事實を説明することができます。

§8. 平均風速と風の変動成分の標準偏差との関係

乱れの標準偏差は平均風速にはほぼ比例する。(実験  
解析結果より)つまり風速が高くなるにつれて乱れ  
成分のものがエネルギーが大きくなり、平均流の乱れ  
による損失エネルギーが大きくなるものと考えられ  
る。

§9. 結論および今後の課題

今回の実験では、部分模型Plate, DT70H, DT70Tについて  
は、定常風より変動風を受けた場合の方が耐風安定性上有利であり、一方部分模型EP70H, DP70H  
については、逆に定常風を受けた場合の方が耐風安定性上やや有利であるという結果を得た。この理由  
として次のことが考えられる。つまり、前者の模型  
では、その断面形状が比較的 simple であり子たゞく  
定常応答が比較的高い風速で生じていてるために、空  
気流のエネルギーが動的挙動に与える影響が大きい  
と思われる。一方、後者の模型では、その断面形状  
がやや複雑であり、子たゞく定常応答が比較的低い  
風速で生じていているために、空力的アドミッタンスの  
影響が大きいと思われる。従って今後は、空力的ア  
ドミッタンスおよび乱れを含む空気流の有するエネ  
ルギー(模型のエネルギー吸収率)に関する研究が  
必要であると思われる。

参考文献: (1) Sabzevari, Scanlan "Aerodynamic Instability of Suspension Bridges" Journal of Eng. ASCE, 1968

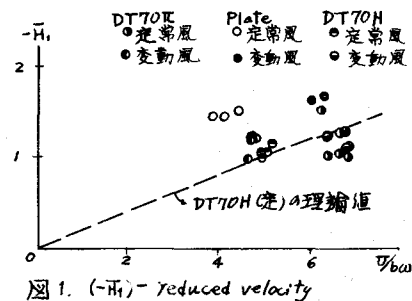


図1.  $(-\bar{A}_1)$ - reduced velocity

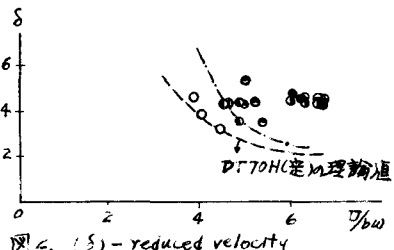


図2.  $(\delta)$ - reduced velocity

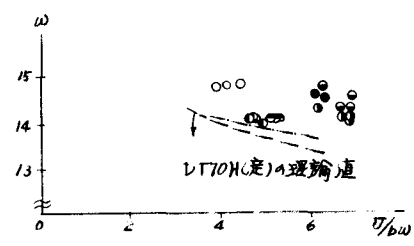


図3.  $(\omega)$ - reduced velocity

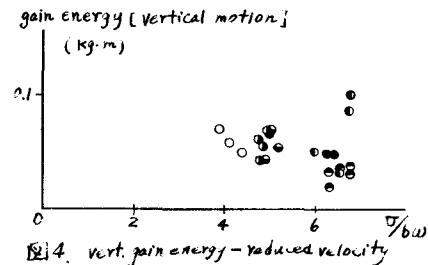


図4. vert. gain energy - reduced velocity

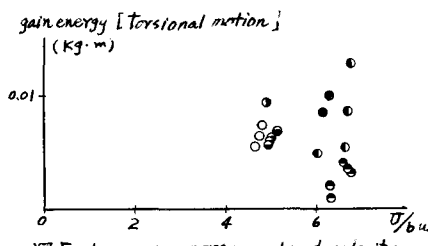


図5. tors. gain energy - reduced velocity